

# V-19 扇形平板の曲げについて

北大工学部 正員 茅村 仁

2辺が放射方向の直線辺、他の2辺が半径の異なる2つの円弧で囲まれた扇形平板と名付けることにする。

要旨 曲線橋の基本的な形を平板構造的にみる扇形平板と考えることとする。平板構造では2つ直交方向で弾性的な性質が異なる場合が一般的であるので筆者は先に曲線直交異方性平板の基本微分方程式を導いた<sup>1)</sup>。その後解法に有限なFourier Sine変換を適用することによりいかなる荷重が曲線直交異方性扇形平板に作用しても、その有限Fourier sine変換をよりすれば、2直線辺が単純支持の場合、2円弧辺が任意の境界条件を有しても解きうることを示した。

基本微分方程式 碓座標を採用し、 $r$ 方向と $\theta$ 方向上で弾性的な性質を異にする鉄筋コンクリート板、リブ付板等の他において、 $r, \theta$ 方向の弾性係数を  $E_r, E_\theta$ 、ポアソン比を  $v_r, v_\theta$  とし厚さ一定で普通平板と同じ説明の仮定を設けたと筆者が導いた基本微分方程式は次の通りである。(詳細は後記文献参照)。

$$p = N_r \frac{\partial^2 w}{\partial r^2} + \frac{(2N_r + N_\theta v_r - N_r v_\theta)}{r} \frac{\partial^3 w}{\partial r^3} + \frac{[N_r v_\theta + N_\theta v_r + 2N(1-v)]}{r^2} \frac{\partial^2 w}{\partial r^2 \partial \theta^2} \\ - \frac{[2N_r v_\theta + 2N(1-v)]}{r^3} \frac{\partial^3 w}{\partial r^2 \partial \theta^2} + \frac{[2N_\theta + 2N(1-v) + 2N_r v_\theta]}{r^4} \frac{\partial^3 w}{\partial \theta^2} + \frac{N_\theta}{r^3} \frac{\partial w}{\partial \theta} \\ - \frac{N_\theta}{r^2} \frac{\partial^2 w}{\partial r^2} + \frac{N_\theta}{r^4} \frac{\partial^2 w}{\partial \theta^2} \quad - - - - - \quad (1)$$

これが曲線直交異方性平板の基本微分方程式である。(1)式中、 $p$ は鉛直荷重である。

$$N_r = \frac{E_r h^3}{12(1-v_\theta)}, \quad N_\theta = \frac{E_\theta h^3}{12(1-v_\theta)}$$

である。

基本微分方程式の解法 (1)式は  $r$  と  $\theta$  に関する4階の偏微分方程式である。これに区间  $0 < \theta < \alpha$  で  $\theta$  に関する有限Fourier Sine変換を適用すると  $w_s(r, \theta) \in W(r, \theta)$  の Sine変換、 $\beta = \frac{n\pi}{\alpha}$ 、 $\alpha =$  中心角とすれば、結局次のようになった<sup>2)</sup>。

$$N_r w_s'''(r, \beta) + \frac{[2N_r + N_\theta v_\theta - N_r v_\theta]}{r} w_s'''(r, \beta) \\ - \frac{[N_\theta + \beta^2(N_r v_\theta + N_\theta v_r + 2N(1-v))]}{r^2} w_s''(r, \beta) \\ + \frac{[N_\theta + \beta^2(2N_r v_\theta + 2N(1-v))]}{r^3} w_s'(r, \beta) + \frac{[\beta^4 N_\theta - \beta^2(2N_\theta + 2N_r v_\theta) + 2N(1-v)]}{r^4} \\ \times \beta [(-1)^m w''(r, \alpha) - w''(r, 0)] - \frac{[2N_r v_\theta + 2N(1-v)]}{r^3} x \quad (2) \text{ となる}$$

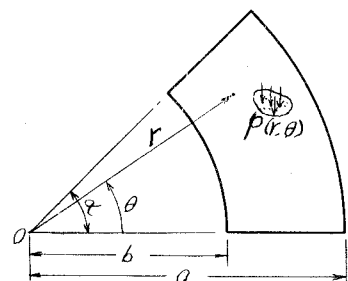


図-1.

$$x \beta [(-1)^n w'(r, \alpha) - w'(r, 0)] + \frac{[2N_0 + 2N_0 v_0 + 2N(1-v)]}{r^4} \beta [(-1)^n w(r, \alpha) - w(r, 0)] \\ - \frac{\beta}{r^4} \left\{ (-1)^n \left[ \frac{(M_\theta)_{\theta=\alpha}}{N_0} + r w'(r, \alpha) + v_r w''(r, \alpha) \right] - \left[ \frac{(M_\theta)_{\theta=0}}{N_0} + r w'(r, 0) + v_r w''(r, 0) \right] \right\} \quad \dots (2)$$

この式の右辺第一項は荷重の sine 変換であり第二項以下は扇形平板の  $\theta = 0, \theta = \alpha$  の境界値が入っています。直角辺が単純支持の場合には第二項以下はすべて 0 となり第一項のみが残る。従っていきなり荷重状態で、もしもその sine 変換を求めるのは容易に扇形平板の問題を解くことができる。

式の導導に当り振り子モーメント  $M_{ro} = M_{or} = -N(1-v) \frac{\partial}{\partial r} \left( \frac{1}{r} \frac{\partial w}{\partial \theta} \right)$  としますが、この  $N, v$  の代りに  $\pm$  小さな直交軸方向に対する柔軟度  $c$  およびボアン比の幾何平均値でおきかえると  $M_{ro} = -(1-\sqrt{v/c}) N v r N_0 \frac{\partial}{\partial r} \left( \frac{1}{r} \frac{\partial w}{\partial \theta} \right)$  となる。今

$$\frac{N_0}{Nr} = c^2 \quad \dots (3)$$

とする。(2)式は

$$w_s''' + 2 \frac{w_s''}{r} - [c^2 + 2c\beta^2] \frac{w_s''}{r^2} + [c^2 + 2c\beta^2] \frac{w_s'}{r^3} + \beta^2 [\beta^2 c^2 - (2c^2 + 2c)] \frac{w_s}{r^4} = \delta \frac{S_p(\alpha, \theta)}{Nr}. \quad (4)$$

与えられた  $c$  に対して  $w_s = r^\lambda$  をおき 4 次の特性方程式の根を求め、また荷重の sine Transform を考慮して特解を求めると問題は解決する。入に関する 4 次の特性方程式の係数は実数であるからその根は一般に次のようないくつかの共役複素根で表される。

$$\lambda_1, \lambda_2 = A_m \pm i B_m, \quad \lambda_3, \lambda_4 = A_{2n} \pm i B_{2n}, \quad (i = \sqrt{-1})$$

従って求めた複みの式  $w_s(r, \beta)$  は  $C_1 e^{A_m r} + C_2 e^{A_{2n} r} + C_3 e^{i B_m r} + C_4 e^{-i B_{2n} r}$  の形で表され、 $P(r, \beta)$  を特解とするときのように表すことができる。

$$w_s = C_1 r^{A_m} \cos(B_m \log r) + C_2 r^{A_{2n}} \sin(B_{2n} \log r) + C_3 r^{A_m} \cos(B_m \log r) + C_4 r^{A_{2n}} \sin(B_{2n} \log r) + P(r, \beta). \quad (5)$$

$A_m, A_{2n}, B_m, B_{2n}$  は太字の  $B_m$  は 4 次代数方程式の係数間の関係で決めるべきものである。

$w_s$  が求まるれば Fourier Transform の定理により求めた  $w(r, \theta)$  は  $w_s(r, \beta)$  の逆変換として

$$w(r, \theta) = \frac{2}{\alpha} \sum_{m=1,2,3, \dots} w_s \left( r, \frac{n\pi}{\alpha} \right) \sin \frac{n\pi}{\alpha} \theta. \quad (0 < \theta < \alpha, m=1, 2, 3, \dots) \quad \dots (6)$$

つまり各断面力、反力を次式より求めることができる。

$$M_r = -Nr \left[ \frac{\partial^2 w}{\partial r^2} + c^2 v_r \left( \frac{1}{r} \frac{\partial w}{\partial r} + \frac{1}{r^2} \frac{\partial^2 w}{\partial \theta^2} \right) \right] \\ M_\theta = -c^2 Nr \left[ \frac{1}{r} \frac{\partial^2 w}{\partial r^2} + \frac{1}{r^2} \frac{\partial^3 w}{\partial r^2 \partial \theta} + v_r \frac{\partial^2 w}{\partial \theta^2} \right] \quad M_{r\theta} = -(1-c^2 v_r) c^2 Nr \frac{\partial}{\partial r} \left( \frac{1}{r} \frac{\partial w}{\partial \theta} \right) \\ Q_r = -Nr \left[ \frac{\partial^3 w}{\partial r^3} + \frac{1}{r} \frac{\partial^2 w}{\partial r^2} - \frac{c^2 \partial w}{r^2 \partial r} - \frac{c^2 (2+c^2 v_r - c^2 v_{2n})}{r^3} \frac{\partial^3 w}{\partial \theta^2} - \frac{1}{r^2} c^2 (c^2 v_r - n - 1) \frac{\partial^3 w}{\partial r^2 \partial \theta^2} \right] \\ Q_\theta = -Nr \left[ \frac{c^2 \partial w}{r^2 \partial \theta} - \frac{c^2 (c^2 v_r - n - 1)}{r} \frac{\partial^3 w}{\partial r^2 \partial \theta} + \frac{c^2}{r^3} \frac{\partial^3 w}{\partial \theta^3} \right] \\ T_r = -Nr \left[ \frac{\partial^3 w}{\partial r^3} - \frac{c^2 \partial w}{r^2 \partial r} + \frac{1}{r} \frac{\partial^2 w}{\partial r^2} - \frac{c^2}{r^3} (v_r - 2c^2 v_r + 3) \frac{\partial^3 w}{\partial \theta^2} + \frac{c^2}{r^2} (2 + v_r - 2c^2 v_r) \frac{\partial^3 w}{\partial r^2 \partial \theta^2} \right] \quad (7) \\ T_\theta = -Nr \left[ -\frac{c^2 (1-2c^2 v_r)}{r^2} \frac{\partial^2 w}{\partial \theta^2} + \frac{c^2 (2 + v_r - 2c^2 v_r)}{r^3} \frac{\partial^3 w}{\partial r^2 \partial \theta} + \frac{c^2}{r^3} \frac{\partial^3 w}{\partial \theta^3} + 2c^2 (1-c^2 v_r) \frac{\partial w}{r^3 \partial \theta} \right]$$

2ヶの円弧辺の境界条件 (1) 固定の場合  $r=a$  または  $b$  にて  $w=0, \frac{\partial w}{\partial r}=0 \dots \dots \dots (8)$

(2) 単純支持の場合  $r=a$  または  $b$  にて  $w=0, M_r=0 \dots \dots \dots (9)$

(3) 自由辺の場合  $r=a$  または  $b$  にて  $M_r=0, T_r=0 \dots \dots \dots (10)$

これらの条件、組合せにより合計9種類の境界条件について解くことができる。

等分布荷重の場合 この場合は  $p(r, \theta) = g_0 (\text{const.})$  とすると  $g_0$  の sine 変換  $S\{g_0\}$  は

$$S\{g_0\} = \frac{g_0 [1 - (-1)^n]}{\beta}, n = 1, 2, 3, \dots$$

であるからこの場合の特解  $P(r, \beta)$  は  $P(r, \beta) = \frac{g_0 r^4 [1 - (-1)^n]}{\beta c^2 \beta^4 - [18c + 2c^2]\beta^2 + (72 - 8c^2)\beta N} \dots \dots \dots (11)$

となる。 $(5)(11)$  より  $(7)$  式を考慮して  $(8)(9)(10)$  の3種の境界条件を適用する3種類の境界条件の平板に荷重等布荷重が作用し、この場合の係数決定方程式が得られることを解いて  $C_i \rightarrow C_i$  を決定すれば  $(6)$  式で境界を求まり  $(7)$  式で必要な断面力、反力が求められる。後記文献の中では  $c=1$  の時の3種の境界条件に対する係数決定方程式を Matrix 表示した<sup>3)</sup>。一例として 2 边が単純支持の場合および自由辺である場合の境界を中心角  $\theta = \frac{\pi}{4}$  で  $\frac{\text{中央円弧長}}{\text{半径}} = 1.0$  の場合につき求めた結果が図-2, 3 である。

尚周辺単純支持の正方形板、荷重等布荷重に対する中央支の挠みは  $0.00406 \frac{g_0 L^4}{N}$  ( $a=b$  の辺長) でありまた二対辺自由、二対辺単純支持の中央支の挠みは  $0.01302 \frac{g_0 L^4}{N}$  である。

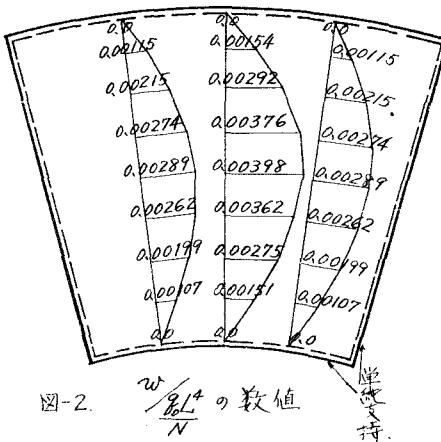


図-2.  $\frac{w}{\frac{g_0 L^4}{N}}$  の数値

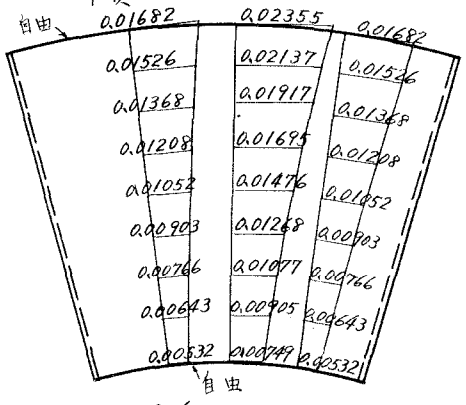


図-3.  $\frac{w}{\frac{g_0 L^4}{N}}$  の数値

集中荷重が作用する扇形平板 平板内の任意の点  $(r_c = R_1 b, \theta_2)$  に集中荷重  $P$  が作用する場合を考える。図-4のように平板を2つに分け  $r=r_c$  の外側を①、内側を②とする。各々の平板に対する(4)の微分方程式 (homogeneous equation) が有効である。2直線辺での境界条件は単純支持の場合すでに満足をうけているから④の未定係数を決めるのに4つの周辺の条件 (6)(9)(10)) で他の4ヶの  $r=r_c$  での連続の条件を決定する。便宜上①の平板の境界を挠みを  $w(r_c, \theta)$ 、②の平板の境界を  $w'(r_c, \theta)$  とする。

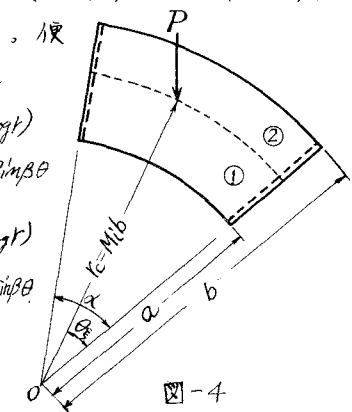
$$w(r, \theta) = \frac{2}{\lambda} \sum \left\{ C_1 r^{\lambda m} \cos(B_m \log r) + C_2 r^{\lambda m} \sin(B_m \log r) + C_3 r^{\lambda m} \cos(B_m \log r) \right. \\ \left. + C_4 r^{\lambda m} \sin(B_m \log r) \right\} \sin \beta \theta$$

$$w'(r, \theta) = \frac{2}{\lambda} \sum \left\{ C'_1 r^{\lambda m} \cos(B_m \log r) + C'_2 r^{\lambda m} \sin(B_m \log r) + C'_3 r^{\lambda m} \cos(B_m \log r) \right. \\ \left. + C'_4 r^{\lambda m} \sin(B_m \log r) \right\} \sin \beta \theta$$

$r=r_c$  なる円弧上で連続の条件は次のようになる。

$$r=r_c \text{ において } W=w'$$

$$W=w'$$



$$r = r_c \text{ において}$$

$$\frac{\partial w}{\partial r} = \frac{\partial w'}{\partial r'}$$

$$\therefore M_r = M_r'$$

$$\therefore Q_r - Q'_r = p(\theta) = \frac{2P}{\pi r_c} \sum \sin \frac{n\pi\theta}{d} \cdot \sin \frac{n\pi\theta}{x}$$

最後の条件はせん断力と荷重の釣合の条件で右辺は荷重  $P$  で  $r=r_c$  の円弧上に Fourier 級数に展開したものである。ミクニケの連続条件と円辺の4ヶの条件で8ヶの未定係数決定の方程式ができる。これを解くことにより  $C_1 \rightarrow C'_4$  の未定係数が決定できる。一例として  $c=1$ ,  $d=\frac{\pi}{2}$ , 辺長比が1:1の扇形平板の中央点に  $P$  が作用した場合の複みを  $\theta = \frac{\alpha}{4}, \frac{\alpha}{2}, \frac{3}{4}\alpha$  の位置で求めると図-5のようになる。

### 参考文献

- 1.2.3) 芳村 仁: 扇形平板の曲げについて—曲線橋の平板構造とての考察— 昭和36年2月  
「技術資料」第17号、土木学会北海道支部

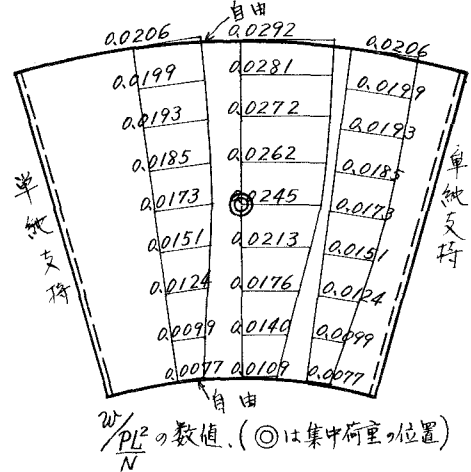


図-5